

② 中規模溶岩流のドリルマップ

中規模溶岩流のドリルマップにおける計算開始点の配置一覧図（図 5.3-2）及び中規模溶岩流のシミュレーション結果として全 91 枚のドリルマップ（M1～M91）を 76～87 ページに掲載する。

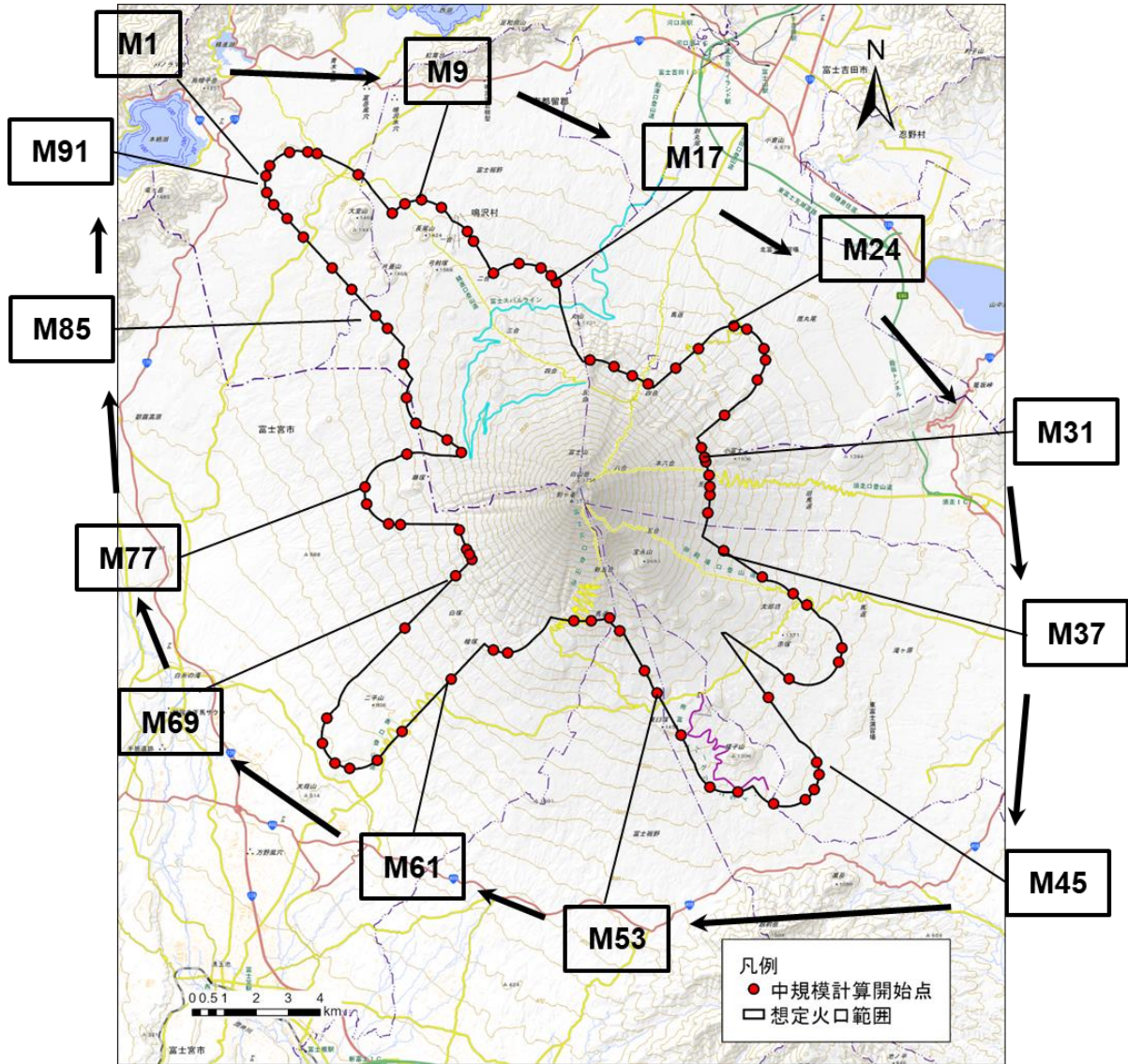
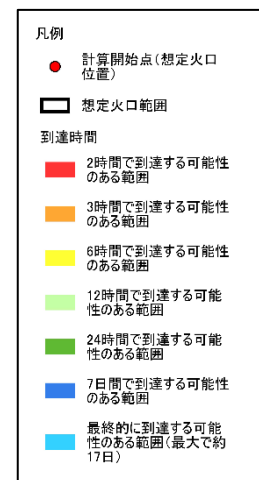
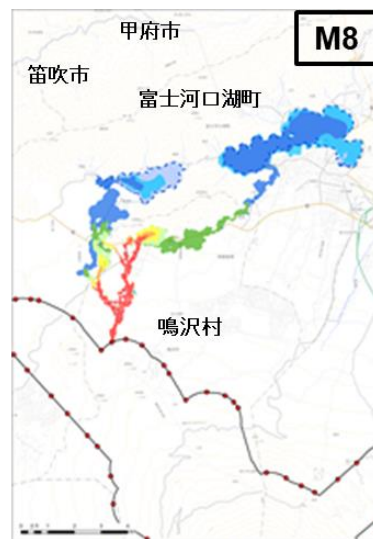
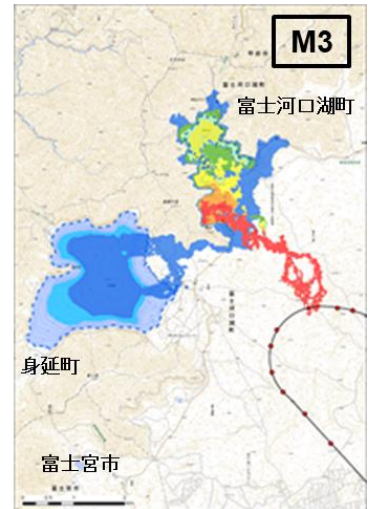
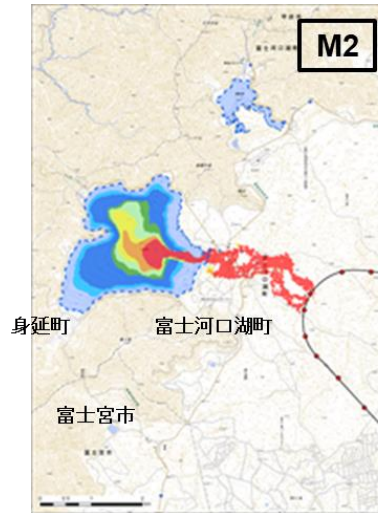
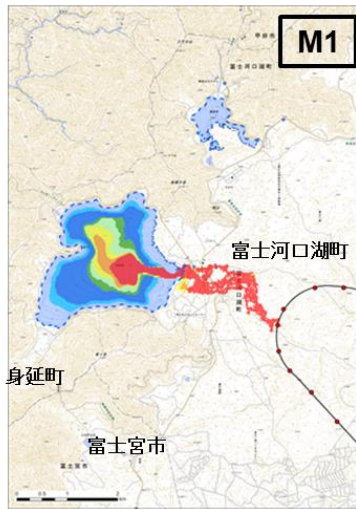
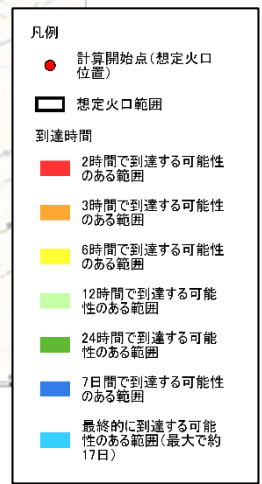
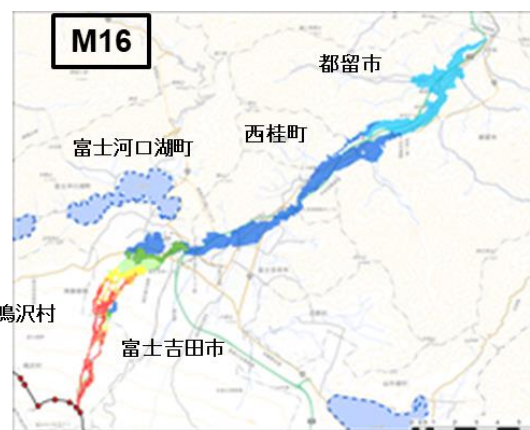
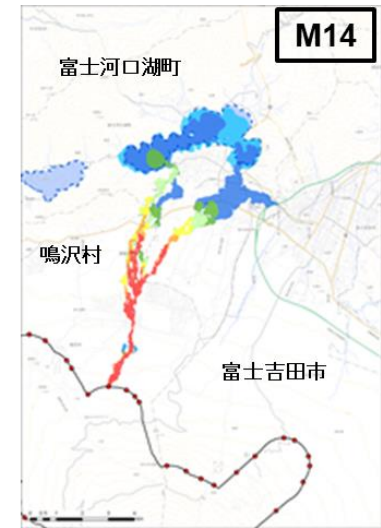
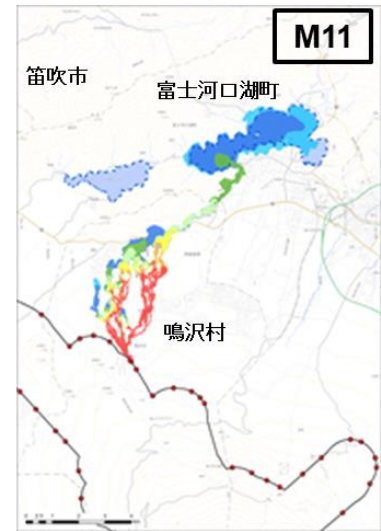
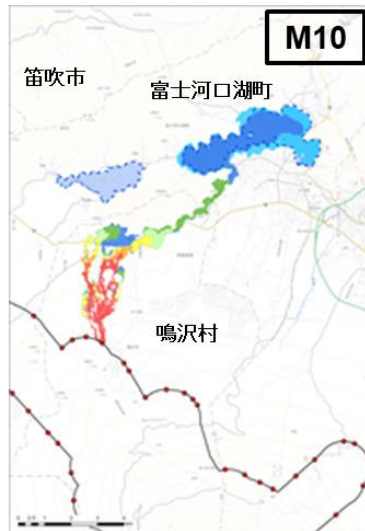
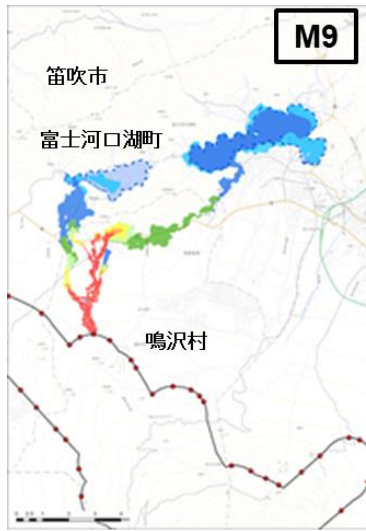


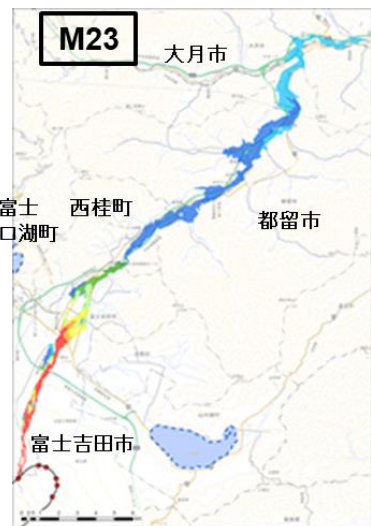
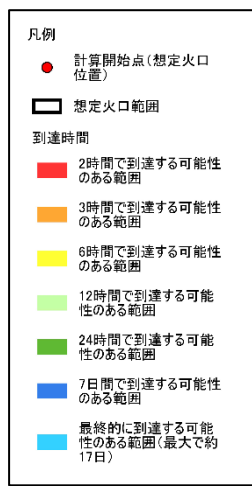
図 5.3-1 中規模溶岩流のドリルマップ 計算開始点の配置一覧図



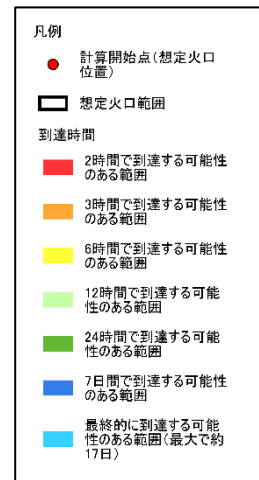
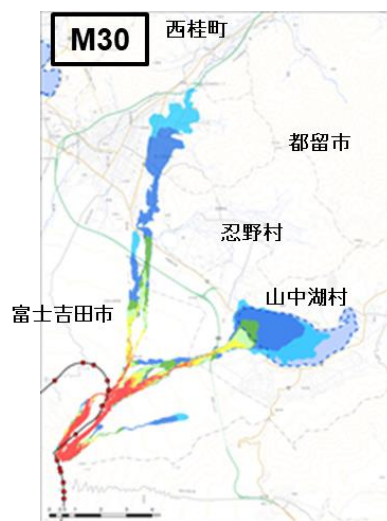
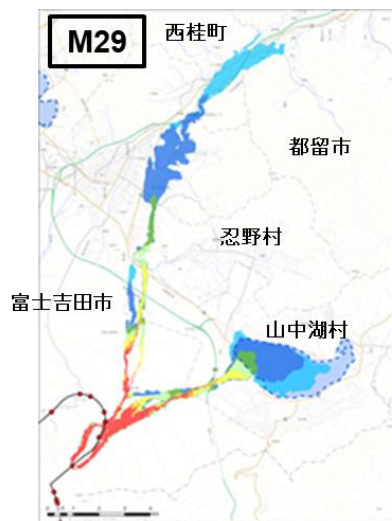
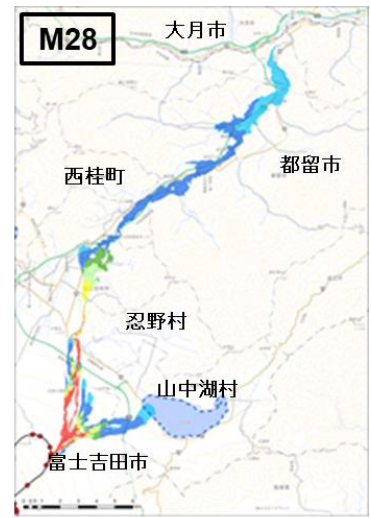
※ 計算開始点から中規模噴火の溶岩流が発生した場合の計算結果であり、これら以外の場所で噴火が発生した場合は、異なる結果となる。



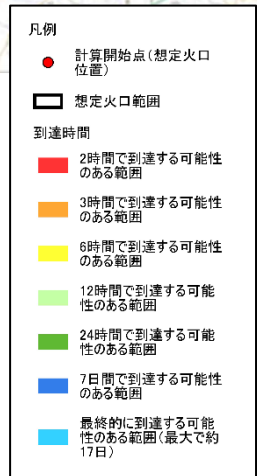
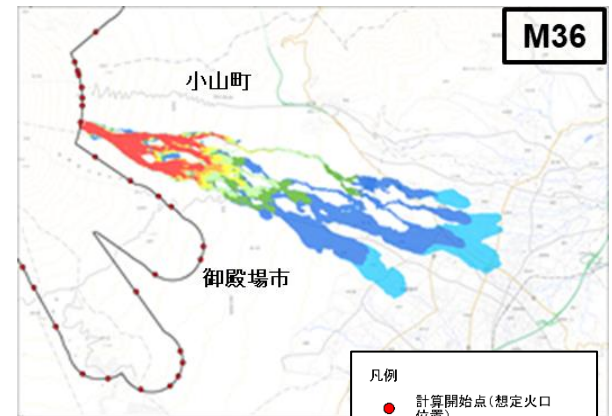
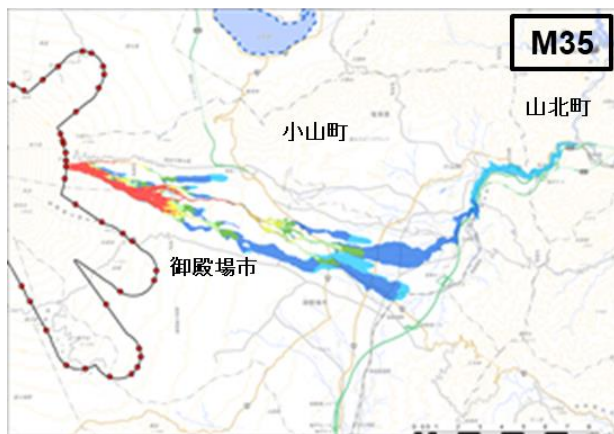
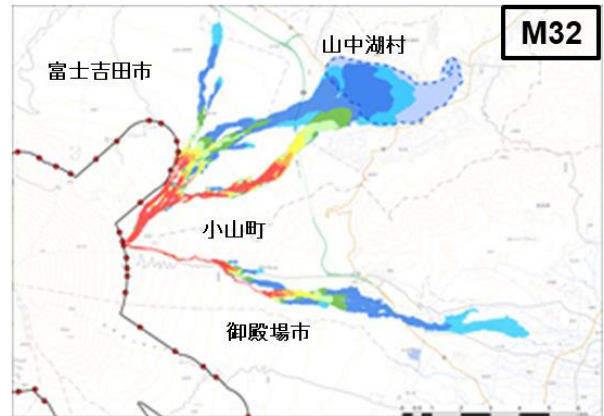
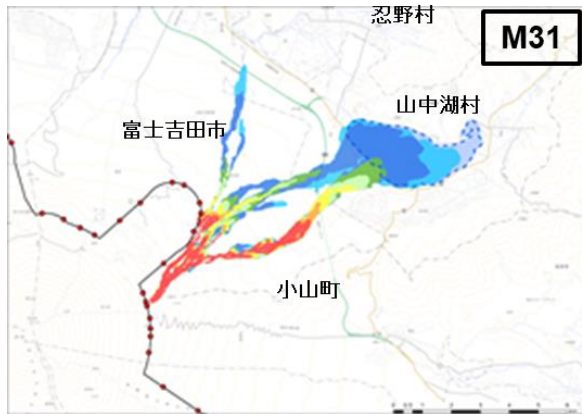
※ 計算開始点から中規模噴火の溶岩流が発生した場合の計算結果であり、これら以外の場所で噴火が発生した場合は、異なる結果となる。



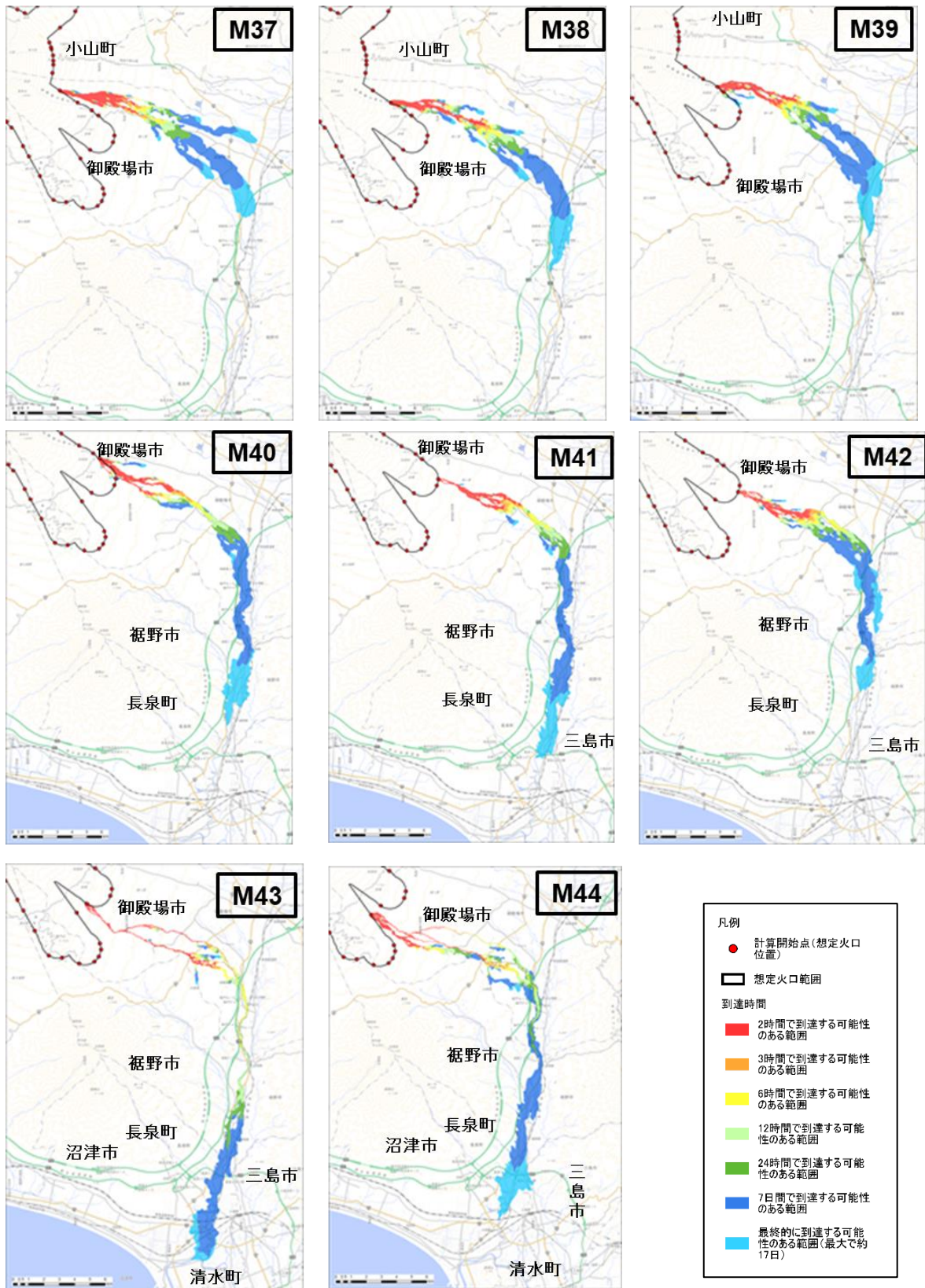
※ 計算開始点から中規模噴火の溶岩流が発生した場合の計算結果であり、これら以外の場所で噴火が発生した場合は、異なる結果となる。



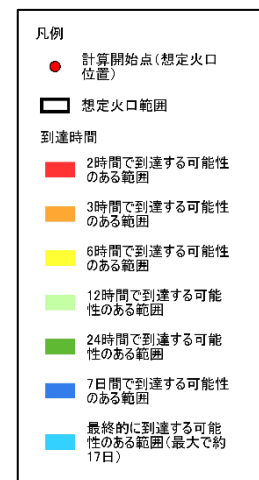
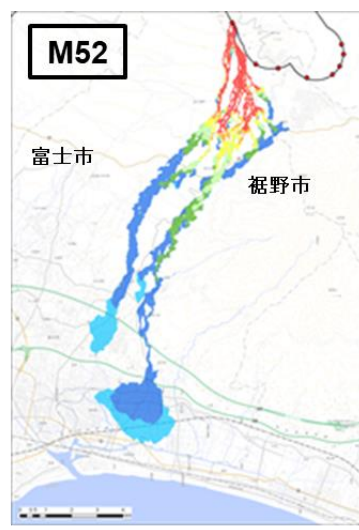
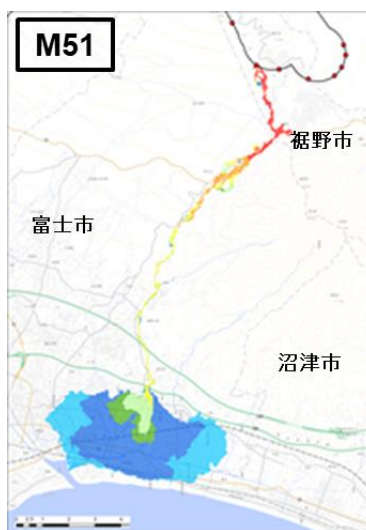
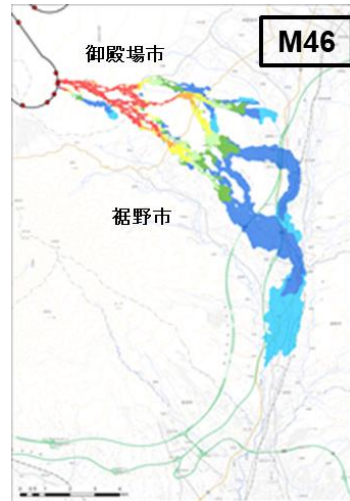
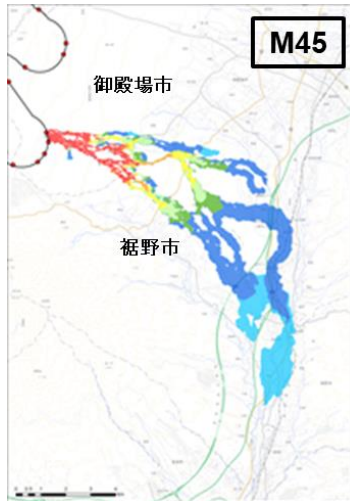
※ 計算開始点から中規模噴火の溶岩流が発生した場合の計算結果であり、これら以外の場所で噴火が発生した場合は、異なる結果となる。



※ 計算開始点から中規模噴火の溶岩流が発生した場合の計算結果であり、これら以外の場所で噴火が発生した場合は、異なる結果となる。

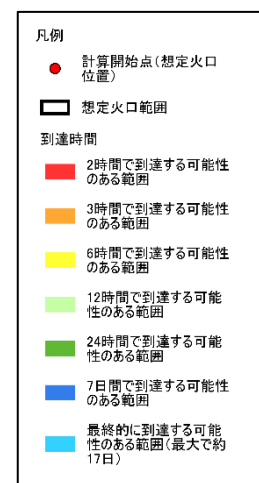
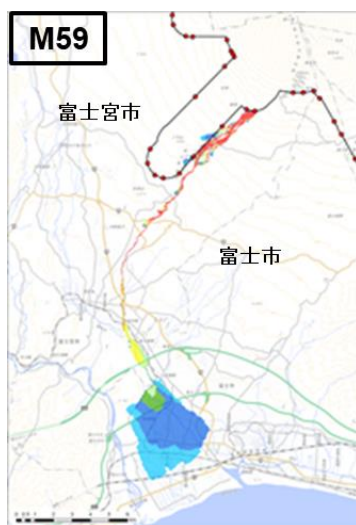
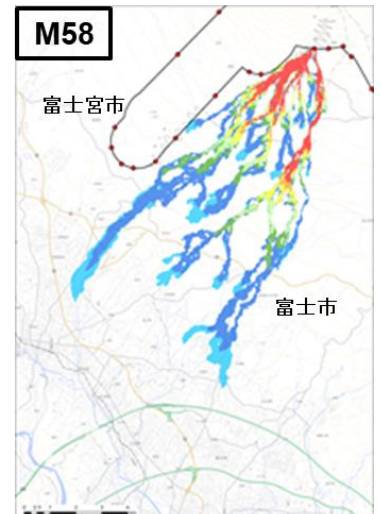
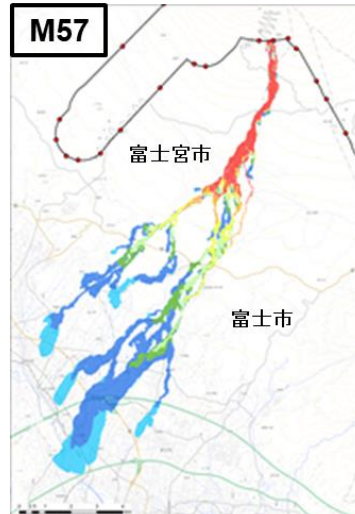
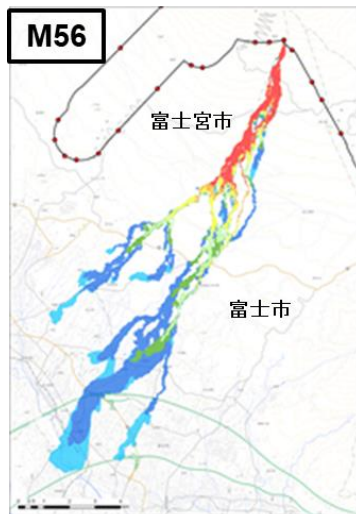
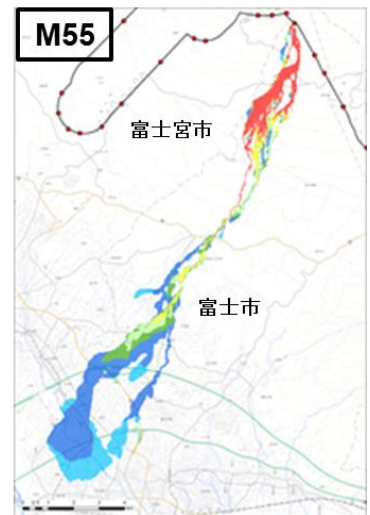
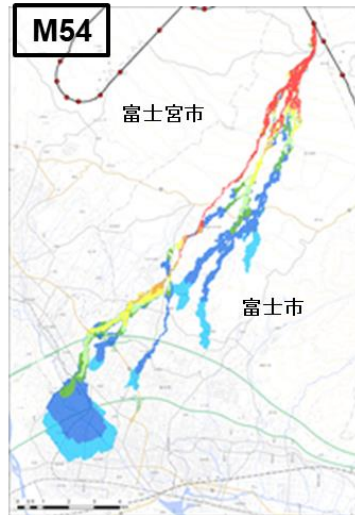
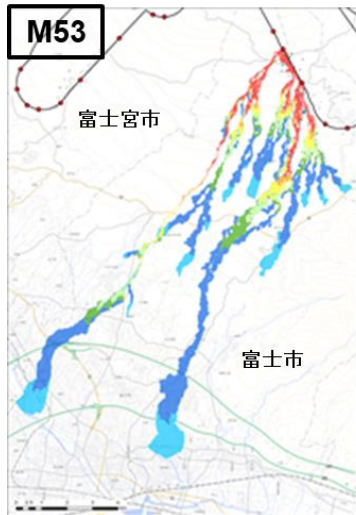


※ 計算開始点から中規模噴火の溶岩流が発生した場合の計算結果であり、これら以外の場所で噴火が発生した場合は、異なる結果となる。

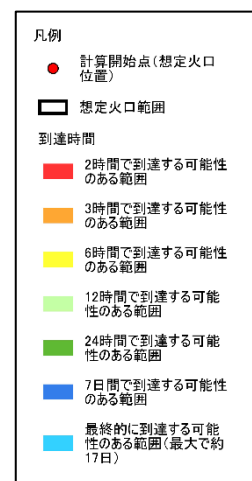
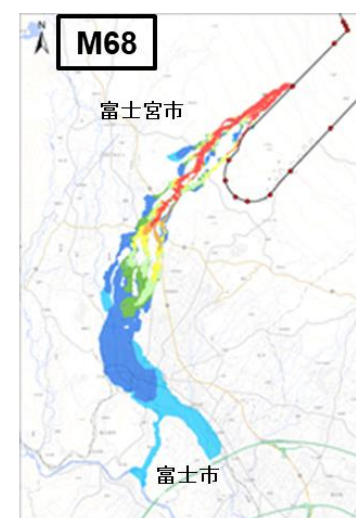
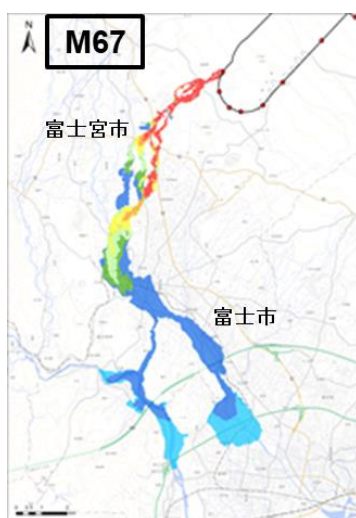
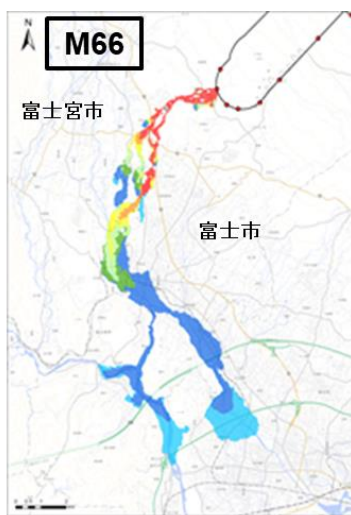
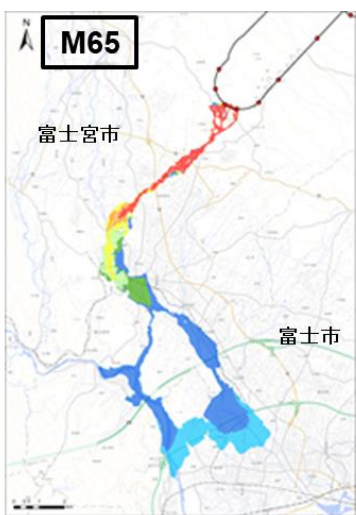
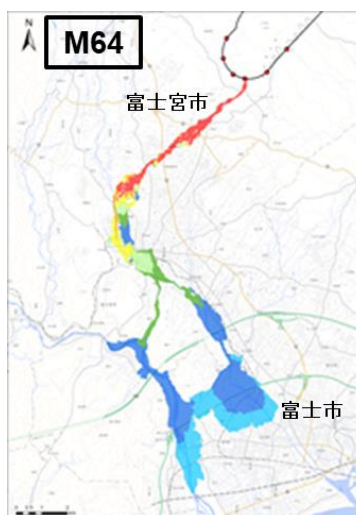
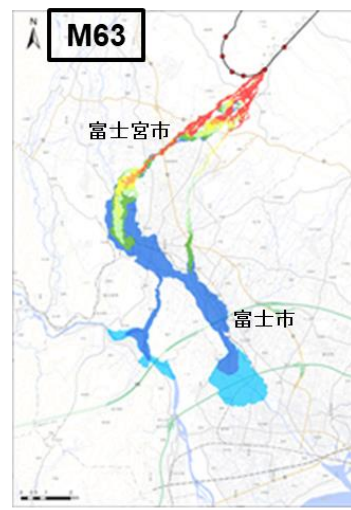
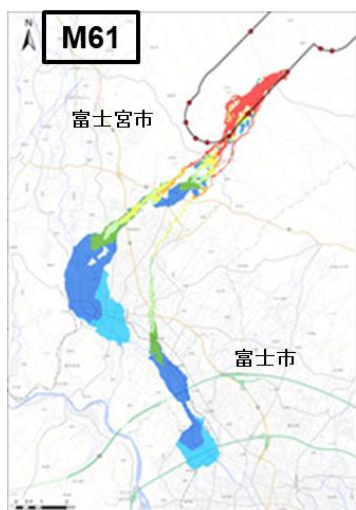


※ 計算開始点から中規模噴火の溶岩流が発生した場合の計算結果であり、これら以外の場所で噴火が発生した場合は、異なる結果となる。

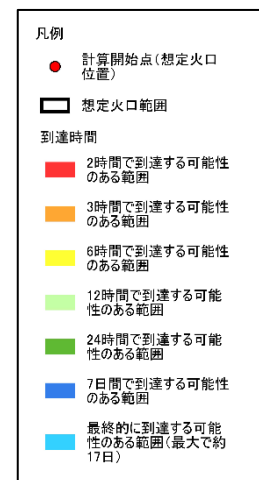
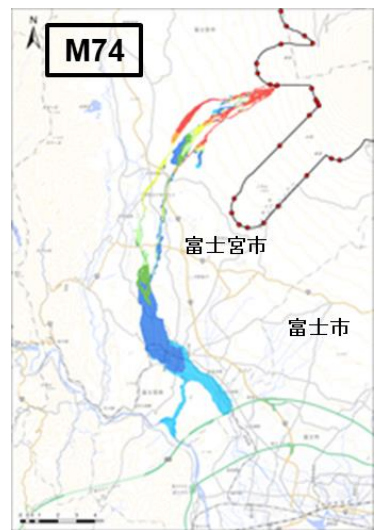
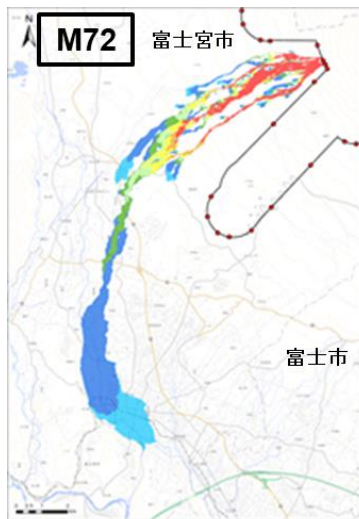
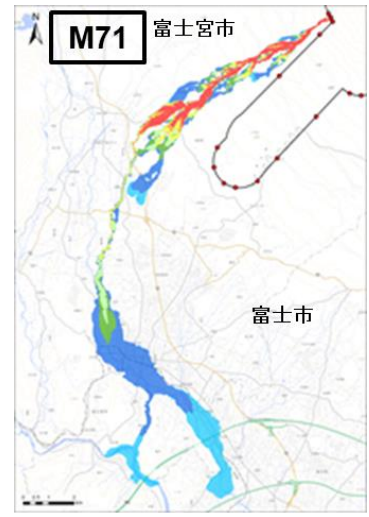
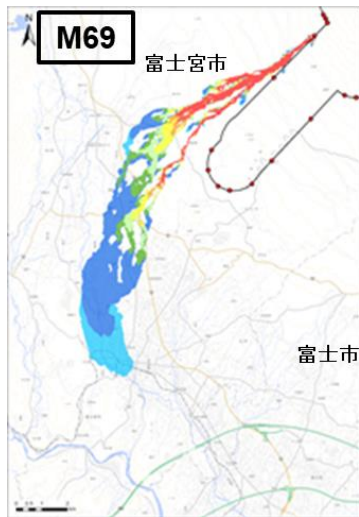




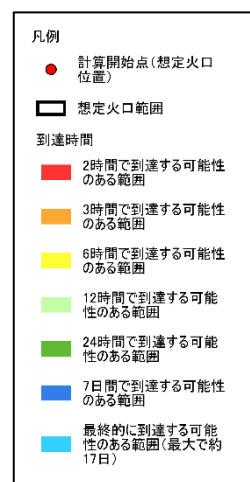
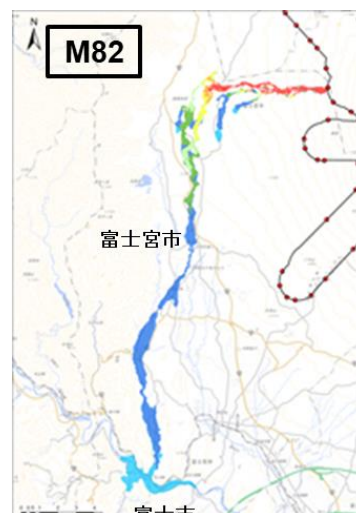
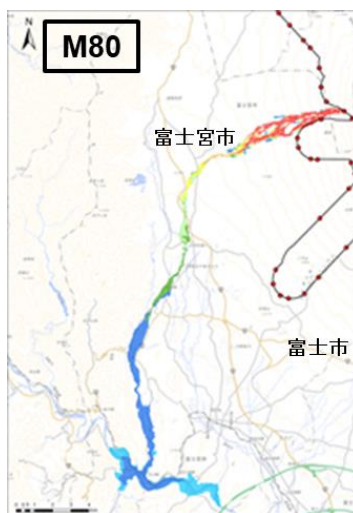
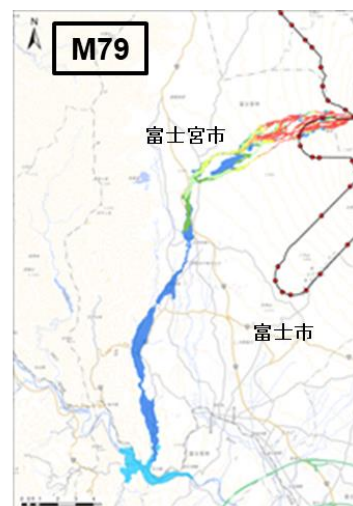
※ 計算開始点から中規模噴火の溶岩流が発生した場合の計算結果であり、これら以外の場所で噴火が発生した場合は、異なる結果となる。



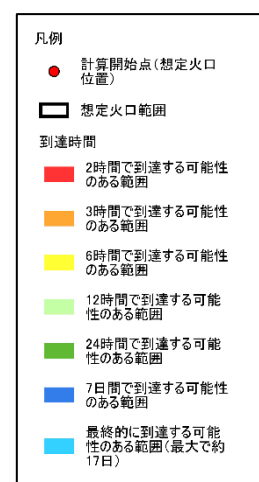
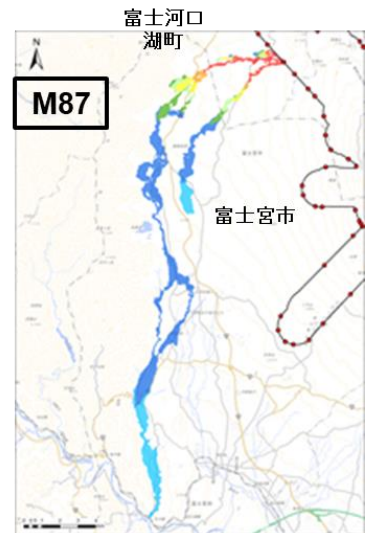
※ 計算開始点から中規模噴火の溶岩流が発生した場合の計算結果であり、これら以外の場所で噴火が発生した場合は、異なる結果となる。



※ 計算開始点から中規模噴火の溶岩流が発生した場合の計算結果であり、これら以外の場所で噴火が発生した場合は、異なる結果となる。



※ 計算開始点から中規模噴火の溶岩流が発生した場合の計算結果であり、これら以外の場所で噴火が発生した場合は、異なる結果となる。



※ 計算開始点から中規模噴火の溶岩流が発生した場合の計算結果であり、これら以外の場所で噴火が発生した場合は、異なる結果となる。